

微波场中 FeCl_3 溶液浸出闪锌矿动力学^①

彭金辉^②刘纯鹏^③

(昆明工学院)

摘要

该文研究微波场中 FeCl_3 溶液常压浸出闪锌矿动力学。考查了微波场中温度、 FeCl_3 浓度及粒度对 Zn 浸出率的影响，得到了非恒温动力学方程，并且证明微波辐照加热方式较传统加热方式的 Zn 浸出速率快。

关键词：微波场， FeCl_3 ，闪锌矿，浸出动力学

文献^[1~4]报导过用传统方式加热 FeCl_3 溶液浸出闪锌矿的动力学研究结果。本文则率先利用微波加热，研究 FeCl_3 溶液浸出闪锌矿动力学，旨在为改革传统方法、探求湿法冶金新工艺进行基础研究。

1 实验方法

在改装过的常用微波炉中进行实验，最大功率 650 W，频率 2 450 MHz。溶液温度是在微波辐照停止后，用迅速从测温孔中插入的温度计进行测定的，经空白实验证实，其温差范围不超过 $\pm 1^\circ\text{C}$ 。升温速率则由微波功率调节。

闪锌矿的主要化学成份 (wt.-%) 为 Zn 48.40, S 25.18, Fe 6.49, Pb 1.03；粒度为 $-98 \sim +76 \mu\text{m}$ 。浸出实验所用溶液用化学纯三氯化铁、盐酸及蒸馏水配制。实验中盐酸浓度固定为 0.1 M^[1]。

2 实验结果与评论

2.1 Zn 的浸出速率

由图 1 可见，在相同温度、浓度和粒度条件下，微波辐照下的 Zn 浸出速率较传统加热方式快。加热约 30 分钟后，微波辐照下的 Zn 浸出率达 59.3%，而传统方式加热下只有 28.4%。这一对比显示了微波辐照加热方式的优越性。

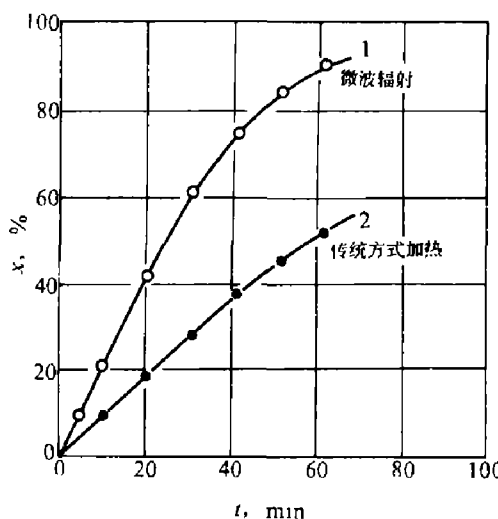


图 1 微波辐照与传统加热方式下的 Zn 浸出率 x 与加热时间 t 的关系

(实验条件: $T=368\text{ K}$; $\text{FeCl}_3=1.0\text{ M}$)

①本文属国家自然科学基金资助项目，于 1991 年 9 月 9 日收到

②博士； ③教授

2.2 温度的影响

微波场中 Zn 浸出率 x 与加热时间 t 的关系见图 2 曲线 1, 溶液温度 T 与加热时间 t 的关系见同图曲线 2。

微波场中 Zn 浸出率 x 与温度 T 的关系见图 3。

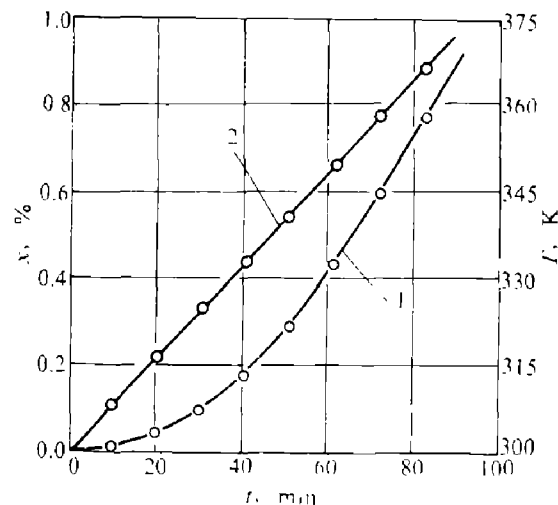


图 2 非恒温过程的 x/t 及 T/t 关系

(实验条件: FeCl_3 -0.1 M)

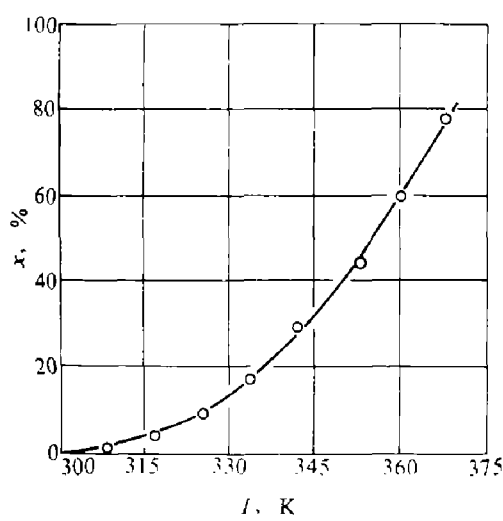


图 3 Zn 浸出率 x 与温度 T 的关系

(实验条件: FeCl_3 -0.1 M)

图 2 和图 3 表明, 随着微波辐照加热, 溶液温度逐渐升高, 反应速率明显加快; 微波场中的液固反应在达到溶液沸点以前系非恒温过程。

微波辐照加热的特性为:

1 在外加电场作用下, 极性分子迅速改变方向进行高速振动, 不仅产生了热量和促使溶液温度升高, 而且增加了物质间的相互碰撞, 强化了反应速度。

2 微波辐照加热为内部加热, 可避免传统加热方式中固相的“冷中心”现象^[5]。

3 微波辐照加热促使固体微粒破裂和暴露出新鲜表面, 有利于液固反应的进行^[6]。

根据微波辐照加热的上述特性, 可以认为液固反应为化学控制, 其反应速率 v 可表示为

$$v = -\frac{dW}{dt} = -\frac{d(4\pi r^3 \rho / 3)}{dt} \quad (1)$$

式中 W —颗粒质量; r —未反应核半径; ρ —颗粒密度

$$\text{而 } v = kc^n \quad (2)$$

$$k = A \cdot e^{-\frac{E}{RT}} \quad (3)$$

式中 k —表观速率常数; C —浓度; n —反应级数; A —频率因子; E —活化能

由 (1) ~ (3) 式 得

$$-\frac{dr}{dt} = \frac{MC^n A}{\rho} e^{-\frac{E}{RT}} \quad (4)$$

因为

$$-\frac{dr}{dT} \cdot \frac{dT}{dt} = -\frac{dr}{dt} = \frac{MC^n A}{\rho} \cdot e^{-\frac{E}{RT}} \quad (5)$$

式中 M —常数

令 $dT/dt = B$ (由图 2 中曲线 2 求得 $B = 0.8371$, B 称升温速率常数), 则

$$dr = \frac{MC^n A}{B\rho} e^{-\frac{E}{RT}} dT \quad (6)$$

令 r_0 表示初始颗粒半径, T_0 表示初始温度。在 $[r_0, r] [T_0, T]$ 上积分, 并把 $x = 1 - (r/r_0)^3$ 代入式中得

$$1 - (1 - x)^{\frac{1}{3}} = \frac{MC^n AE}{B\rho R} P(\theta) \quad (7)$$

式中 $P(\theta) = (e^\theta / \theta^2)(1 + 2!/\theta + 3!/\theta^2 + \dots)$;

$$\theta = -E / RT$$

取 $P(\theta)$ 的前两项, 并取对数, 即得动力学数学模型:

$$\ln\left[\frac{1-(1-x)^{1/3}}{T^2}\right] = \ln\left[\frac{MC''AR}{B\rho E}\left(1-\frac{2RT}{E}\right)\right] - \frac{E}{RT} \quad (8)$$

以 $\ln[1-(1-x)^{1/3}/T^2]$ 对 $1/T$ 作图^[7], 得图 4 及

$$\ln\left[\frac{1-(1-x)^{1/3}}{T^2}\right] = 4.1865 - \frac{6186.8470}{T} \quad (9)$$

其线性回归相关系数为 0.9973, 由此求得 $E=51.41 \text{ kJ/mol}$, $A=1.52 \times 10^4$ 。

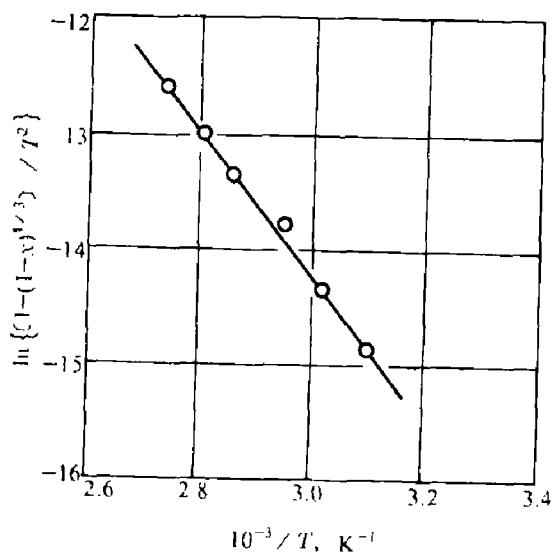


图 4 $\ln[1-(1-x)^{1/3}/T^2]$ 与 $1/T$ 的关系

2.3 FeCl_3 浓度的影响

不同 FeCl_3 浓度下 Zn 浸出率与时间的关系见图 5。

图 5 表明, 随着 FeCl_3 浓度的增加, 浸出反应速率也增加。根据图 5 的数据, 以 $1-(1-x)^{1/3}$ 对 t 作图, 得图 6, 其直线过原点。由此可得 0.2, 0.3, 0.5, 1.0 M 时的表观速率常数 k 分别为 8.7755×10^{-3} , 5.4299×10^{-3} , 3.9006×10^{-3} , 2.8756×10^{-3} ; 其线性相关系数分别为 0.9991, 0.9994, 0.9978, 0.9995。再以 $\ln k$ 对 $\ln(\text{FeCl}_3 \text{ 浓度})$ 或者说 $\ln(M_{\text{FeCl}_3})$ 作图, 得图 7, 由此得反应级数为 0.69, 其线性相关系数为 0.9997。

2.4 粒度的影响

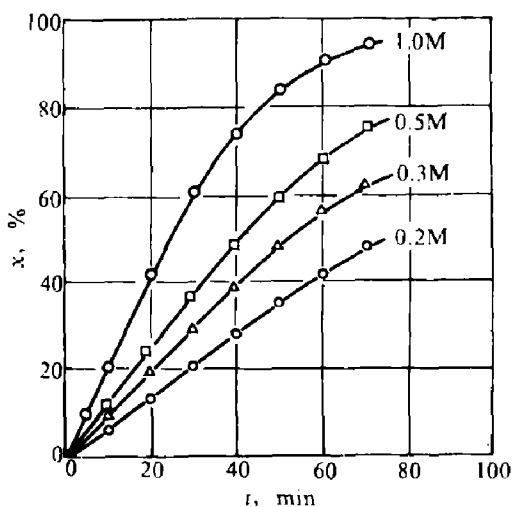


图 5 不同 FeCl_3 浓度下 Zn 浸出率与时间的关系

(实验条件: $T=386 \text{ K}$)

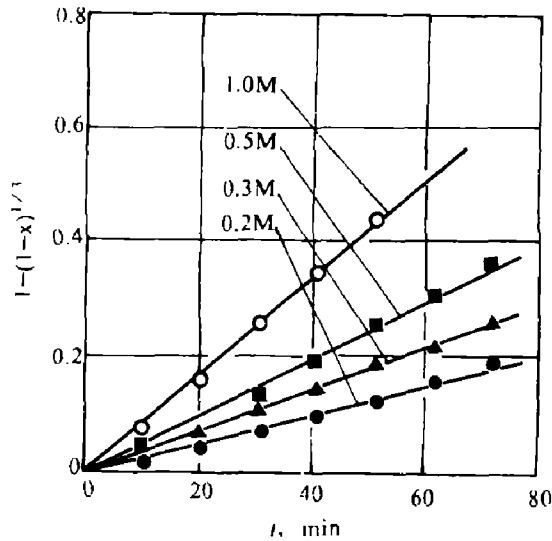


图 6 不同 FeCl_3 浓度下 $1-(1-x)^{1/3}$ 与 t 的关系

(实验条件: $T=368 \text{ K}$)

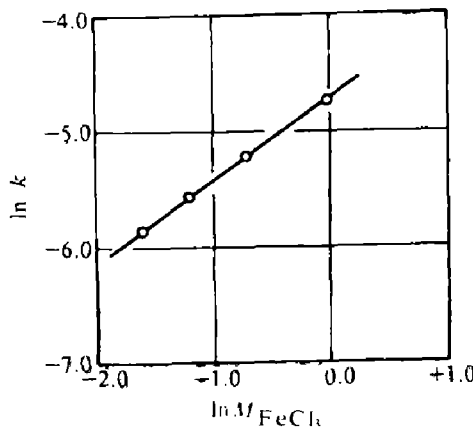
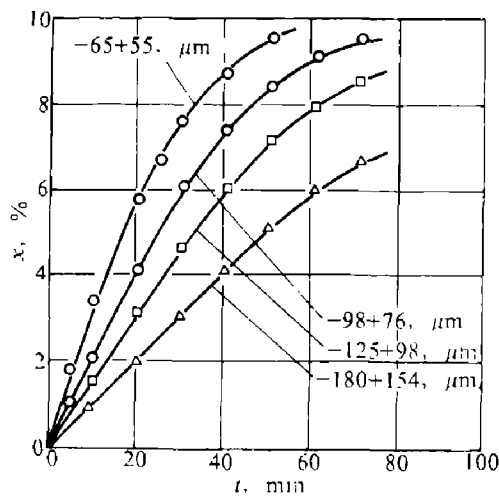
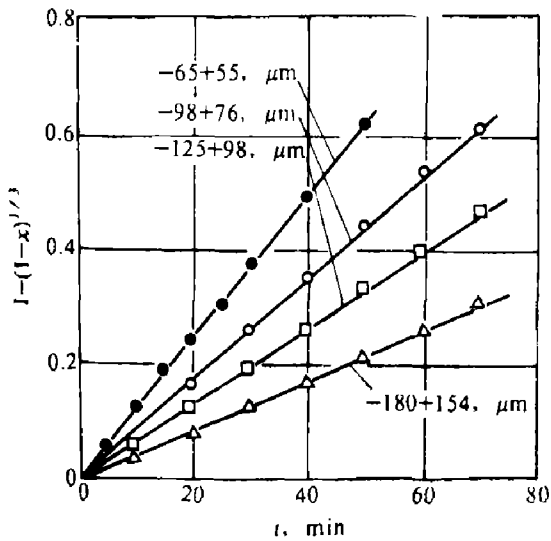
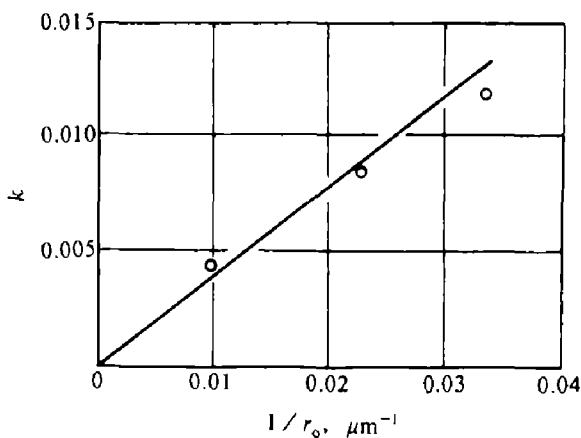


图 7 $\ln k$ 与 $\ln M_{\text{FeCl}_3}$ 浓度的关系

图 8 不同粒度下的 Zn 浸出率 x 与时间 t 的关系(实验条件: $T=368\text{ K}$; $\text{FeCl}_3=1.0\text{ M}$)

不同粒度下的 Zn 浸出率与反应时间的关系见图 8。

图 8 表明, 随着闪锌矿的粒径减小, 浸出反应速率增加且与化学控制模型符合良好, 见图 9。以图 9 中所求得的 k 对 $1/r_0$ 作图, 得图 10。图 10 表明, k 与 $1/r_0$ 成线性关系。图 10 的结果进一步证实了浸出反应受化学控制。

图 9 不同粒度下 $1-(1-x)^{1/3}$ 与 t 的关系(实验条件: $T=368\text{ K}$; $\text{FeCl}_3=1.0\text{ M}$)图 10 k 与 $1/r_0$ 关系

3 结论

1 微波场中 FeCl_3 溶液浸出闪锌矿的行为, 在所实验的范围内, 遵从化学控制动力学模型, 其表观总反应速率 ϕ 可表示为

$$\phi = 1.52 \times 10^4 C_{\text{FeCl}_3}^{0.69} \cdot r_0^{-1} \cdot e^{-\frac{5.14 \times 10^4}{RT}} \cdot t$$

2 FeCl_3 溶液浸出闪锌矿时, 用微波辐照加热能较传统的加热方式获得高的浸出速率。它表明微波辐照加热有利于强化浸出过程, 且在湿法冶金领域中颇具应用前景。

参考文献

- 1 Jin Zuo-Mei, Warren G W, Henein H. Metall Trans. B, 1984, 15B: 5~12
- 2 Dutrizac J E, MacDonald R J C. Metall. Trans. B, 1978, 9B: 543~551
- 3 Venkataswamy Y, Khangaonkar R P. Hydrometallurgy, 1981, 7: 1~5
- 4 Rath P C, Paramguru R K, Jena P K. Hydrometallurgy, 1981, 6: 219~225
- 5 Standish N, Worner H. Journal of Microwave Power and Electromagnetic Energy, 1990, 25 (3): 177~180
- 6 Nadkarni R A, And. chem., 1984, 56 (12): 2233~2237
- 7 Doyle C D. J. Appl. Polym. Sci., 1961, (5): 285